

ЯВЛЕНИЯ ОПТИЧЕСКОГО ПЕРЕКЛЮЧЕНИЯ И НИЗКОЧАСТОТНЫЙ ШУМ В ВОЛНОВОДНЫХ ИНЖЕКЦИОННЫХ ЛАЗЕРАХ С ЗАПАЗДЫВАЮЩЕЙ ОПТИЧЕСКОЙ ОБРАТНОЙ СВЯЗЬЮ

В.Л.Дербов, М.А.Кон, Э.М.Рабинович

Введение

Необходимость исследования шумов в полупроводниковых волноводных лазерах с запаздывающей оптической обратной связью ($300C$), обусловленных переключением системы из одного стационарного состояния в другое, обсуждалась в ряде работ (см., например, [^{1,2}]). Это связано, с одной стороны, с интересом к изучению физических явлений в указанных системах, с другой — с перспективой широкого применения лазеров с оптической обратной связью в качестве оптических логических устройств, автодинных измерительных систем и др. В работе [³] представлены результаты экспериментальных исследований низкочастотных шумов интенсивности излучения инжекционных лазеров с внешним зеркалом. При этом было установлено, что переключение системы между различными состояниями обусловлено флуктуациями длины оптической обратной связи. В настоящей работе предпринята попытка адекватного описания низкочастотных шумов интенсивности излучения в результате выбора соответствующего закона распределения флуктуаций длины обратной связи. Данные численных экспериментов сопоставляются с шумами интенсивности излучения реальной физической системы.

Основные соотношения. Методика расчета низкочастотных шумов интенсивности излучения

Известно, что зависимость интенсивности и частоты генерации полупроводникового лазера от времени задержки оптического сигнала в цепи обратной связи может быть описана с использованием теоретической модели Lang и Kobayashi [⁴], при этом могут быть получены следующие соотношения [¹]:

$$\Delta\omega\tau = C \sin[\varphi_0 - (\omega_0 + \Delta\omega)\tau], \quad (1)$$

$$P = P_0 = \frac{2\gamma P_0}{\Gamma_0} \frac{\frac{J}{J_n}}{\left(\frac{J}{J_n} - 1\right)} \cos[(\omega_0 + \Delta\omega)\tau], \quad (2)$$

где

$$C = \frac{\gamma\tau}{\cos\varphi_0}, \quad \operatorname{tg}\varphi_0 = \frac{\eta}{\xi} \left(-\frac{\pi}{2} < \varphi_0 < \frac{\pi}{2} \right),$$

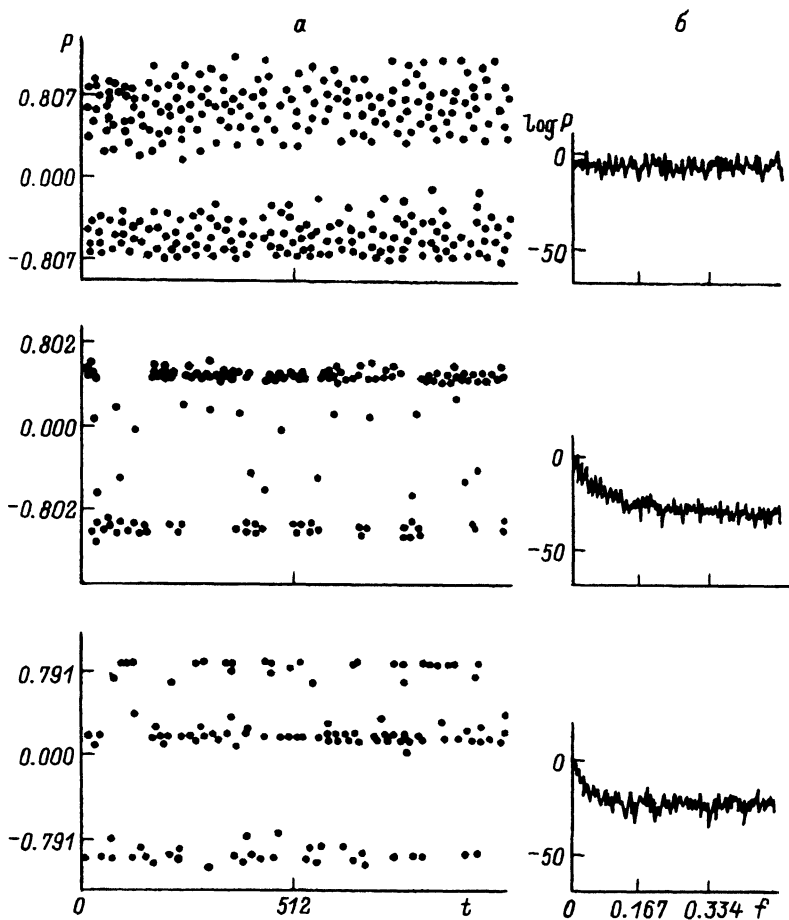


Рис. 1. Зависимость интенсивности излучения от времени (а) и спектр интенсивности излучения (б). Результаты математического моделирования.

ω_0 — частота генерации лазера без обратной связи; $\Delta\omega$ — сдвиг частоты, вызванный обратной связью; C — коэффициент обратной связи; τ — время задержки в цепи обратной связи; Γ_0 — потери резонатора диода; γ — параметр, описывающий увеличение амплитуды, вызванное обратной связью; $\frac{J}{J_n}$ — параметр накачки.

Результаты экспериментальных исследований, полученные при выполнении работы [3], свидетельствуют о том, что минимальные наблюдаемые времена переключения системы из одного стационарного состояния в другое составили $10^{-6} - 10^{-7}$ с. С другой стороны, характерные времена задержки сигнала в реальных системах составляют величины $10^{-9} - 10^{-10}$ с [2]. Это обстоятельство позволяет считать, что переключения системы между различными стационарными состояниями происходят при неизменной статической характеристике, описываемой с помощью соотношений (1) и (2).

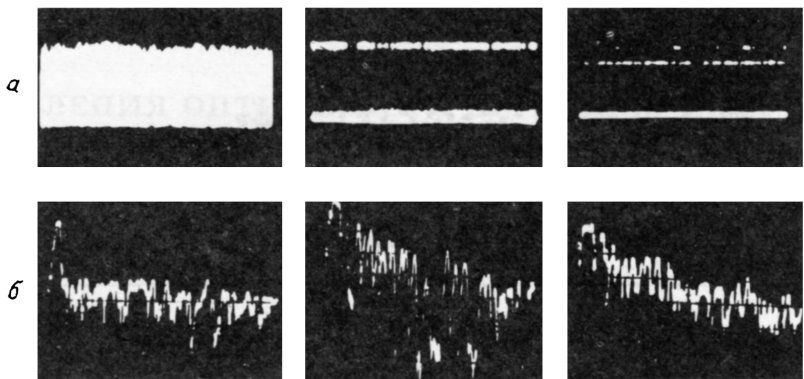


Рис. 2. Результаты эксперимента. Зависимость интенсивности излучения от времени (а) и спектр флуктуаций интенсивности (б).
1 — $C \approx 1$, 2 — $C > 1$, 3 — $C = 4 - 5$.

Для математического описания низкочастотных шумов интенсивности излучения применялся метод Монте-Карло, заключающийся в использовании случайных чисел для моделирования различных ситуаций. Предполагалось, что амплитуда флуктуаций длины обратной связи (времени задержки сигнала) подчиняется различным статистическим законам распределения. С помощью генератора случайных чисел осуществлялось формирование случайных параметров τ с равномерным распределением, затем производилось преобразование законов распределения.

Результаты численных расчетов. Сравнение с экспериментом

На рис. 1 представлены результаты расчета зависимости интенсивности излучения инжекционного лазера с 300С от времени (а) и спектра интенсивности (б) для различных значений параметра обратной связи C [1] при предположении, что распределение флуктуаций времени задержки τ может быть представлено в виде суперпозиции двух кривых, соответствующих нормальному законам с различной дисперсией. Рис. 2 иллюстрирует флуктуации интенсивности излучения (а) и спектр сигнала (б) в реальной физической системе, выполненной с использованием волноводного инжекционного лазера на зараженных гетероструктурах ($\lambda = 1.3$ мкм) [3]. Сравнение рис. 1 и 2 свидетельствует о хорошем качественном соответствии результатов теоретического расчета и эксперимента в случае принятого закона распределения флуктуаций времени задержки.

Аналогичные расчеты были выполнены с использованием других законов распределения флуктуаций длины линии задержки. При этом, однако, не было получено удовлетворительного качественного соответствия теоретических и экспериментальных результатов.

Заключение

Моделирование низкочастотного шумового сигнала в полупроводниковых лазерах с 300С, обусловленного оптическими переключениями системы между различными состояниями, может быть выполнено в резуль-

тате выбора соответствующего закона распределения флуктуаций времени задержки τ сигнала в цепи обратной связи. Показано, что для рассмотренной экспериментальной системы закон распределения флуктуаций наилучшим образом может быть описан с помощью суперпозиции двух кривых, соответствующих нормальным законам распределения с различной дисперсией.

Список литературы

- [1] Acket A.G., Lenstra D., Boef A.J.D., Verbeek B.H. // IEEE J. Quant. Electr. 1984. Vol. 20. N 10. P. 1163–1169.
- [2] Mork J., Tromborg B., Christiansen P.L. // IEEE J. Quant. Electr. 1988. Vol. 24. N 2. P. 123–133.
- [3] Кон М.А., Рабинович Э.М. // ЖТФ. 1990. Вып. 11. С. 178–182.
- [4] Lang R., Kobayashi.// IEEE J. Quant. Electr. 1980. Vol. 16. P. 347–355.

Саратовский университет им.Н.Г.Чернышевского
Научно-исследовательский институт
механики и физики

Поступило в Редакцию
17 октября 1991 г.
В окончательной редакции
29 июня 1992 г.